

# SU(N) gauge natural inflation

Kai Murai / 村井 開 (ICRR)

共同研究者: Tomohiro Fujita (Waseda U.), Kyohei Mukaida (KEK),  
and Hiromasa Nakatsuka (ICRR)

基研研究会 素粒子物理学の進展 2021

2021/09/06



東京大学  
THE UNIVERSITY OF TOKYO



- I. 背景
- II.  $SU(N)$  ゲージ場の一様等方解
- III. 数値計算
- IV. まとめ

## I. 背景

- Chromo-natural inflation

## II. $SU(N)$ ゲージ場の一様等方解

## III. 数値計算

## IV. まとめ

## ■ Natural inflation

Slow-roll inflationを実現するためには平らなポテンシャルが必要

→ Natural inflation: [K. Freese, J. A. Frieman, and A. V. Olinto (1990)]

AxionのようなNGボゾンがinflatonであれば

shift symmetryによってポテンシャルの平坦性が保たれる

一方でnatural inflationがうまくいくためには  $f \gtrsim M_{\text{Pl}}$

[K. Freese and W. H. Kinney (2004)]

→ InflatonとSU(2)ゲージ場の結合によって  
inflatonの有効ポテンシャルが変化する

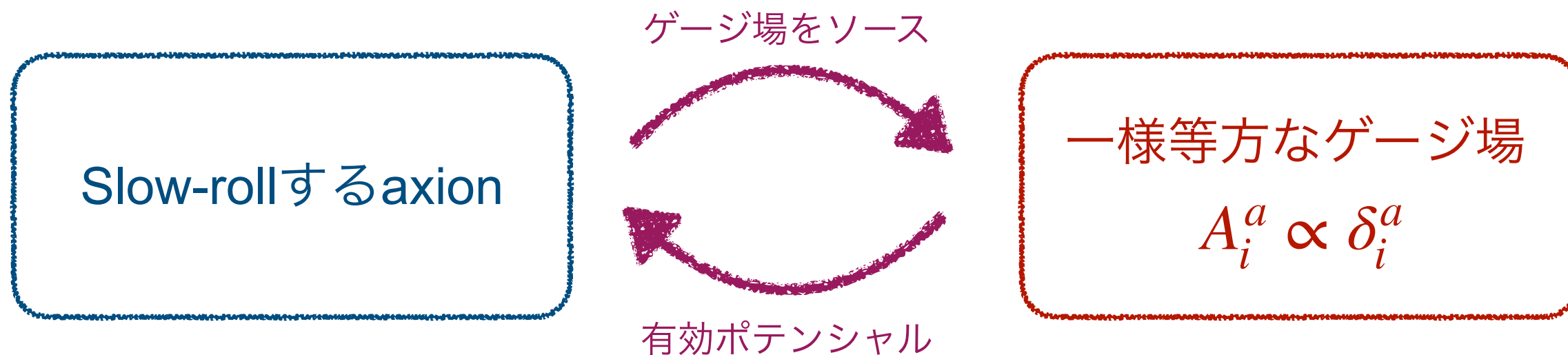
“Chromo-natural inflation”

[P. Adshead and M. Wyman (2012)]

# Chromo-natural inflation

## ■ モデル設定 [P. Adshead and M. Wyman (2012)]

$$\mathcal{L} = \underbrace{\frac{1}{2} \partial_\mu \phi \partial^\mu \phi - V(\phi)}_{\text{axion/inflaton}} - \underbrace{\frac{1}{4} F_{\mu\nu}^a F^{a\mu\nu}}_{\text{SU(2)ゲージ場}} + \underbrace{\frac{\phi}{4f} F_{\mu\nu}^a \tilde{F}^{a\mu\nu}}_{\text{axionとゲージ場の結合}}$$



背景解の範囲では  $f < M_{\text{Pl}}$  でinflationがうまくいきそうだが  
一様等方なゲージ場を通じてテンソルゆらぎが増幅されすぎる...

[P. Adshead, E. Martinec, and M. Wyman (2013)]

## ■ Chromo-natural inflationの拡張

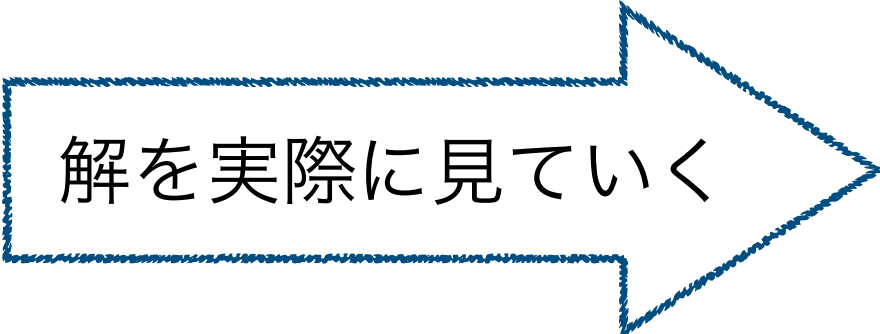
SU(2)というゲージ群は一様等方なゲージ場のためのminimalな選択

→ ゲージ群をより大きいものに拡張してみる

“SU(N) gauge natural inflation”

今回は背景ゲージ場の解がどうなるかを調べる

→ SU(2)の場合と違い、複数の一様等方解が存在



解を実際に見ていく

## I. 背景

## II. SU(N) ゲージ場の一様等方解

- 運動方程式
- 解の条件
- SU(2)部分群
- 具体例:  $N = 3, 4$

## III. 数値計算

## IV. まとめ

## ■ 背景ゲージ場の運動方程式

$$\mathcal{L} = -\frac{1}{4}F_{\mu\nu}^a F^{a\mu\nu} + \frac{1}{2}\partial_\mu\phi\partial^\mu\phi - V(\phi) + \frac{\phi}{4f}F_{\mu\nu}^a \tilde{F}^{a\mu\nu}$$

Inflation中を考え  $a \propto e^{Ht}$ ,  $\xi \equiv \frac{\dot{\phi}}{2fH} = \text{const.}$  を仮定する

temporal gauge  $A_0^a = 0$ , 背景場を  $M_i^a(t) \equiv \frac{g}{a(t)H} A_i^a(t)$  で無次元化

定常な背景ゲージ場の運動方程式

$$\cancel{\frac{\dot{M}_i^a}{H^2}} + \cancel{\frac{3}{H}M_i^a} + 2M_i^a + f^{bac} f^{bde} M_j^c M_i^d M_j^e - \xi \epsilon_{ijk} f^{abc} M_j^b M_k^c = 0,$$

このままだと解けないので2つの条件を課す

- (i): 等方性
- (ii): 電場と磁場の平行性

# 解の条件

## ■ (i): 等方性

任意の空間回転 $R$ による電磁場の変換に対して  
同じ電磁場の変換を導くゲージ変換 $G$ が存在する  
つまり

$$\forall R, \exists G : R_{ij} M_j^a = G^{ab} M_i^b$$

このことから任意の $R$ に対して

$$M_i^a M_j^a = R_{ik} M_k^a M_l^a R_{lj}^T$$

が成立することから

$$M_i^a M_j^a \propto \delta_{ij}$$

$$M_i^a = \sigma n_i^a, \quad n_i^a n_j^a = \delta_{ij}$$

$$E_i^a = -\frac{aH^2}{g} M_i^a$$
$$B_i^a = -\frac{a^2 H^2}{2g} \epsilon_{ijk} f^{abc} M_j^b M_k^c$$

## ■ (ii): 電場と磁場の平行性

Chern-Simons項は電場と磁場を直接結合する:

$$\phi F_{\mu\nu}^a \tilde{F}^{a\mu\nu} \rightarrow \propto \xi E_i^a B_i^a$$

→ 電磁場それぞれがお互いをソースする

→ 各空間方向の電場と磁場が比例するという条件を課す:

$$E_i^a \propto B_i^a$$

$E_i = E_i^a T^a$  のように生成子を含めた形式を用いると

$$B_i = \frac{ig\epsilon^{ijk}}{H^2} [E_j, E_k]$$

→  $n_i \propto \epsilon_{ijk} [n_j, n_k]$

$\{n_i\}$  はSU(2)部分群をなす

$$E_i^a = -\frac{aH^2}{g} M_i^a$$

$$B_i^a = -\frac{a^2 H^2}{2g} \epsilon_{ijk} f^{abc} M_j^b M_k^c$$

$$M_i^a = \sigma n_i^a, \quad n_i^a n_j^a = \delta_{ij}$$

# 解の条件

## ■ 条件(i), (ii)の帰結

$$M_i^a = \sigma n_i^a, \quad n_i^a n_j^a = \delta_{ij},$$

$$n_i^a T^a = n_i \propto \epsilon_{ijk} [n_j, n_k]$$

生成子の規格化:  $\text{Tr} (T^a T^b) = \frac{\delta^{ab}}{2}$  より

$$\text{Tr} (n_i n_j) = \frac{\delta_{ij}}{2}$$

交換関係の比例定数を $\lambda$ で定義する:

$$[n_i, n_j] = i\lambda \epsilon_{ijk} n_k$$

## ■ 条件を満たす解の振幅

運動方程式

$$2M_i^a + f^{bac} f^{bde} M_j^c M_i^d M_j^e - \xi \epsilon_{ijk} f^{abc} M_j^b M_k^c = 0$$

$$M_i^a = \sigma n_i^a, \quad n_i^a n_j^a = \delta_{ij}, \quad [n_i, n_j] = i\lambda \epsilon_{ijk} n_k$$

$$\sigma + \lambda^2 \sigma^3 - \xi \lambda \sigma^2 = 0$$

$$\sigma = 0, \quad \frac{\xi \pm \sqrt{\xi^2 - 4}}{2\lambda}$$

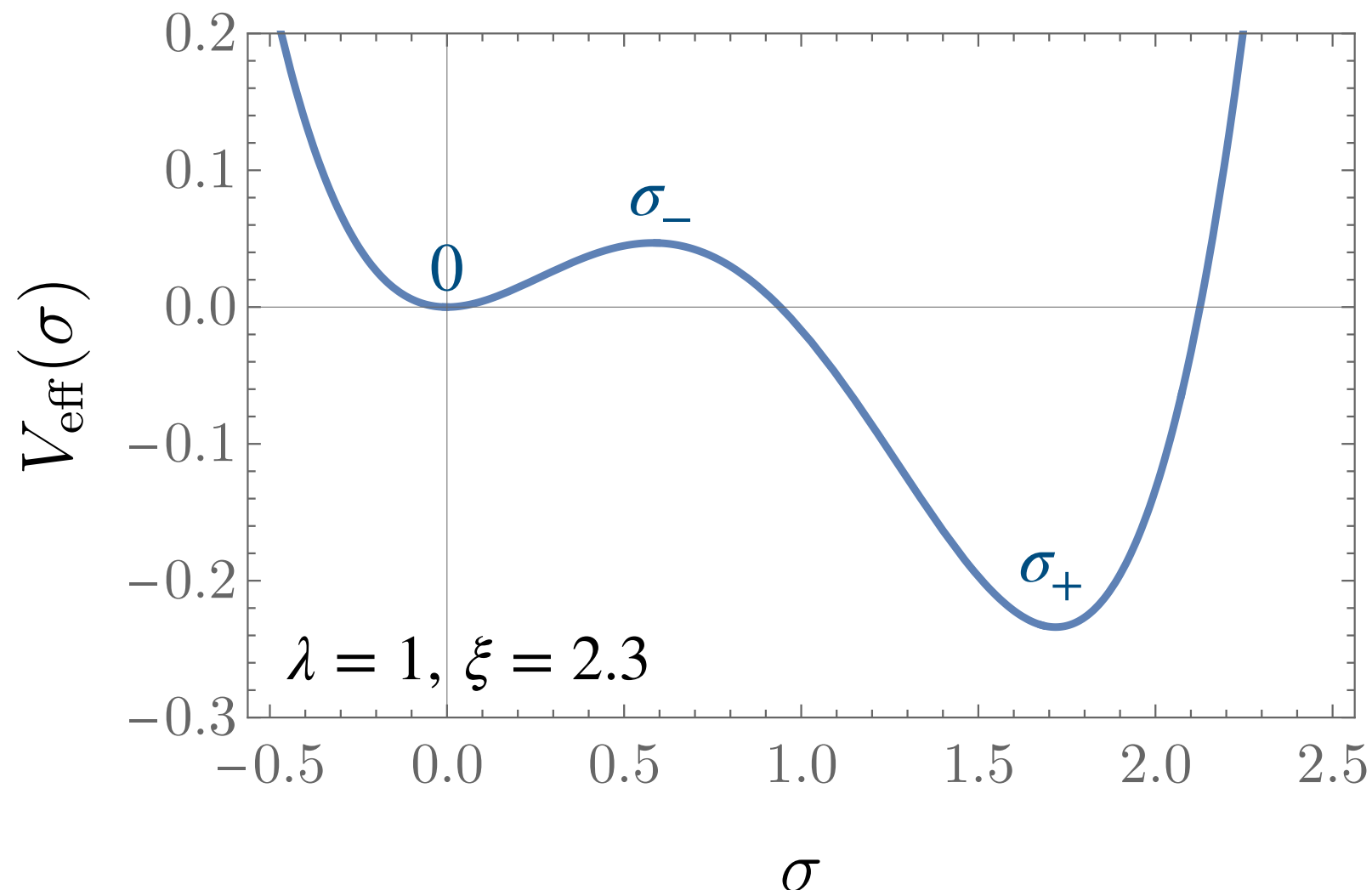
λさえ決まればゲージ場の振幅が決まる

# SU(2) 部分群

## ■ 解の安定性

有効ポテンシャルで解の安定性を調べる

→ 以降は安定に見える  $\sigma = \sigma_+$  に注目する



$$V_{\text{eff}}[\sigma] = \frac{1}{2}\sigma^2 - \frac{1}{3}\xi\lambda\sigma^3 + \frac{1}{4}\lambda^2\sigma^4$$

$$\sigma_{\pm} = \frac{\xi \pm \sqrt{\xi^2 - 4}}{2}$$

$$\sigma = 0, \frac{\sigma_{\pm}}{\lambda}$$

## ■ 解の構成法: $N = 3$ の例

まずはSU(N)に含まれるSU(2)部分群を特定する

$$SU(3) \supset SU(2), \quad \mathbf{3} = \mathbf{3}$$

$$n_i = \frac{1}{2\sqrt{2}} \begin{pmatrix} 0 & 1 & 0 \\ 1 & 0 & 1 \\ 0 & 1 & 0 \end{pmatrix}, \quad \frac{1}{2\sqrt{2}} \begin{pmatrix} 0 & -i & 0 \\ i & 0 & -i \\ 0 & i & 0 \end{pmatrix}, \quad \frac{1}{2} \begin{pmatrix} 1 & 0 & 0 \\ 0 & 0 & 0 \\ 0 & 0 & -1 \end{pmatrix}$$

SU(2)部分群の生成子 $n_i$ を用いて

$$M_i^a = \sigma n_i : \text{選んだSU(2)を破っている}$$

場の大きさ $\sigma$ は $\{n_i\}$ の交換関係から決まり

$$[n_x, n_y] = \frac{i}{2} n_z \rightarrow \lambda = \frac{1}{2} \rightarrow \sigma = 2\sigma_+$$

## ■ $N = 3$

$$SU(3) \supset SU(2) \times U(1) \quad \mathbf{3} = \mathbf{2} + \mathbf{1}$$

$$n_i = \frac{1}{2} \begin{pmatrix} \sigma_i & 0 \\ 0 & 0 \end{pmatrix} \quad \lambda = 1 \quad \sigma = \sigma_+$$

$$SU(3) \supset SU(2) \quad \mathbf{3} = \mathbf{3}$$

$$n_i = \frac{1}{2\sqrt{2}} \begin{pmatrix} 0 & 1 & 0 \\ 1 & 0 & 1 \\ 0 & 1 & 0 \end{pmatrix}, \quad \frac{1}{2\sqrt{2}} \begin{pmatrix} 0 & -i & 0 \\ i & 0 & -i \\ 0 & i & 0 \end{pmatrix}, \quad \frac{1}{2} \begin{pmatrix} 1 & 0 & 0 \\ 0 & 0 & 0 \\ 0 & 0 & -1 \end{pmatrix}$$

$$\lambda = \frac{1}{2} \quad \sigma = 2\sigma_+$$

# 具体例

## ■ $N = 4$

$$SU(4) \supset SU(2) \times U(1) \quad \mathbf{4} = \mathbf{3} + \mathbf{1}$$

$$n_z = \frac{1}{2} \begin{pmatrix} 1 & 0 & 0 & 0 \\ 0 & 0 & 0 & 0 \\ 0 & 0 & -1 & 0 \\ 0 & 0 & 0 & 0 \end{pmatrix} \quad \lambda = \frac{1}{2} \quad \sigma = 2\sigma_+$$

$$SU(4) \supset SU(2) \quad \mathbf{4} = \mathbf{4}$$

$$n_z = \frac{1}{\sqrt{10}} \begin{pmatrix} \frac{3}{2} & 0 & 0 & 0 \\ 0 & \frac{1}{2} & 0 & 0 \\ 0 & 0 & -\frac{1}{2} & 0 \\ 0 & 0 & 0 & -\frac{3}{2} \end{pmatrix} \quad \lambda = \frac{1}{\sqrt{10}} \quad \sigma = \sqrt{10}\sigma_+$$

# 具体例

## ■ $N = 4$

$$SU(4) \supset SU(2) \times SU(2) \quad \mathbf{4} = (\mathbf{2}, \mathbf{1}) + (\mathbf{1}, \mathbf{2})$$

$$n_z = \frac{1}{2} \begin{pmatrix} \sigma_i & 0 \\ 0 & 0 \end{pmatrix}, \quad \frac{1}{2} \begin{pmatrix} 0 & 0 \\ 0 & \sigma_i \end{pmatrix} \quad \lambda = 1$$
$$\sigma = \sigma_+, \sqrt{2}\sigma_+$$

$$SU(4) \supset SU(2) \times SU(2) \quad \mathbf{4} = (\mathbf{2}, \mathbf{2})$$

$$n_z = \frac{1}{2\sqrt{2}} \begin{pmatrix} 1 & 0 & 0 & 0 \\ 0 & 1 & 0 & 0 \\ 0 & 0 & -1 & 0 \\ 0 & 0 & 0 & -1 \end{pmatrix}, \quad \frac{1}{2\sqrt{2}} \begin{pmatrix} 1 & 0 & 0 & 0 \\ 0 & -1 & 0 & 0 \\ 0 & 0 & 1 & 0 \\ 0 & 0 & 0 & -1 \end{pmatrix} \quad \lambda = \frac{1}{\sqrt{2}}$$
$$\sigma = \sqrt{2}\sigma_+, 2\sigma_+$$

## ■ 一般の $N$

$$SU(N) \supset SU(2) \times \cdots \quad \mathbf{N} = \mathbf{m} + \cdots \quad (m = 2, \dots, N)$$

$$n_z = \Lambda(m) \operatorname{diag} \left( \frac{m-1}{2}, \frac{m-3}{2}, \dots, -\frac{m-1}{2}, 0, \dots, 0 \right)$$

$$\lambda = \Lambda(m) = \left( \frac{m(m^2-1)}{6} \right)^{-1/2} \quad \sigma = \frac{\sigma_+}{\Lambda(m)} \sim \sqrt{\frac{m(m^2-1)}{6}} \sigma_+$$

- I. 背景
- II.  $SU(N)$  ゲージ場の一様等方解
- III. 数値計算
  - 時間発展
  - 有効ポテンシャル
- IV. まとめ

## ■ 設定

- 時間微分を含めた微分方程式を解く：  $\left( a \propto e^{Ht}, \quad \xi \equiv \frac{\dot{\phi}}{2fH} = \text{const.} \right)$

$$\frac{\dot{M}_i^a}{H^2} + \frac{3}{H} \dot{M}_i^a + 2M_i^a + f^{bac} f^{bde} M_j^c M_i^d M_j^e - \xi \epsilon_{ijk} f^{abc} M_j^b M_k^c = 0,$$

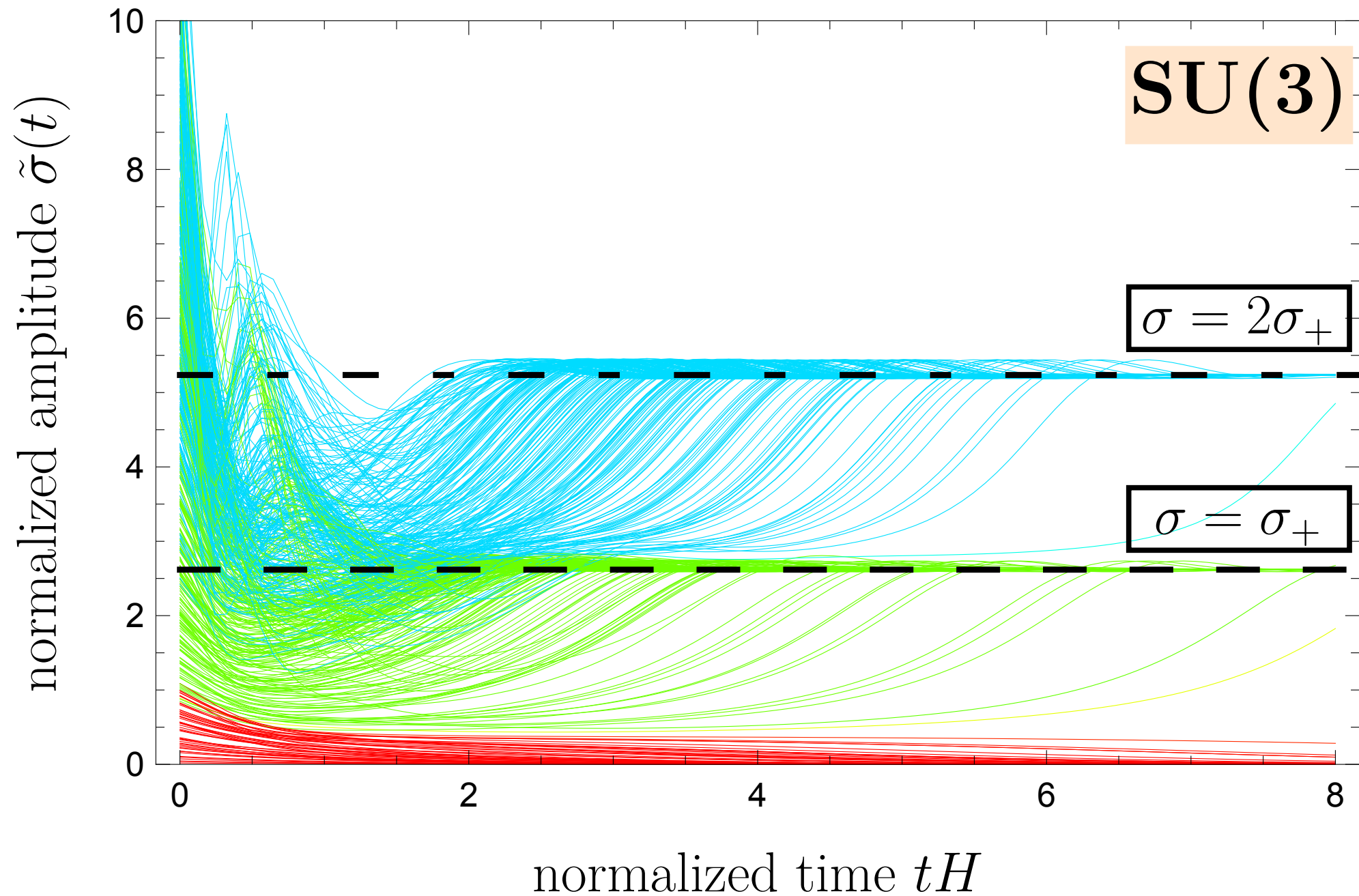
- 初期条件はランダムに振る：

$$\dot{A}_i^a = 0, \quad M_i^a(t_0) = (\text{Gaussian distribution})$$

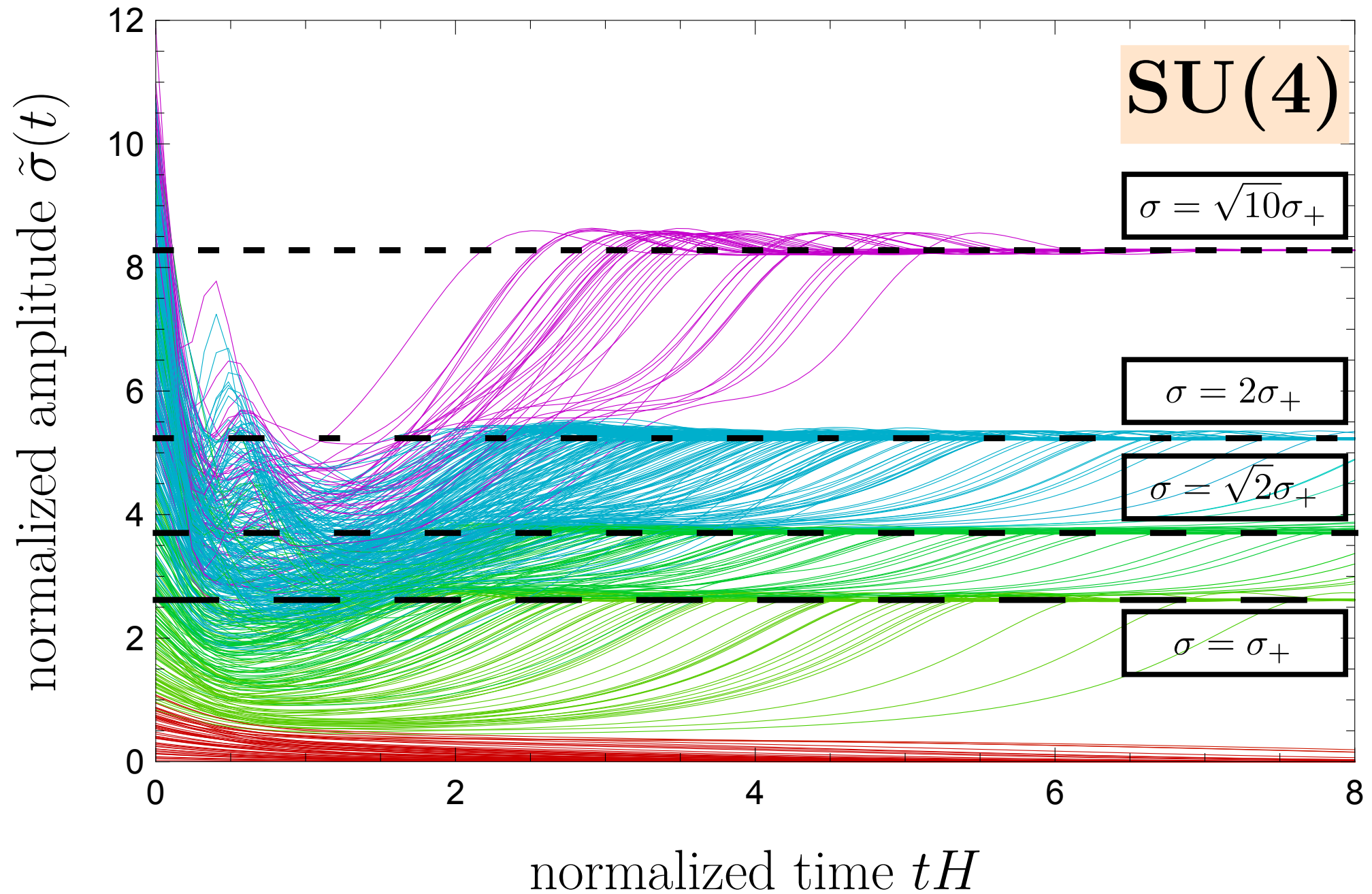
- 結果のプロットは

$$\tilde{\sigma}^2 = \frac{1}{3} \text{Tr}[M_i M_i]$$

## ■ Background dynamics

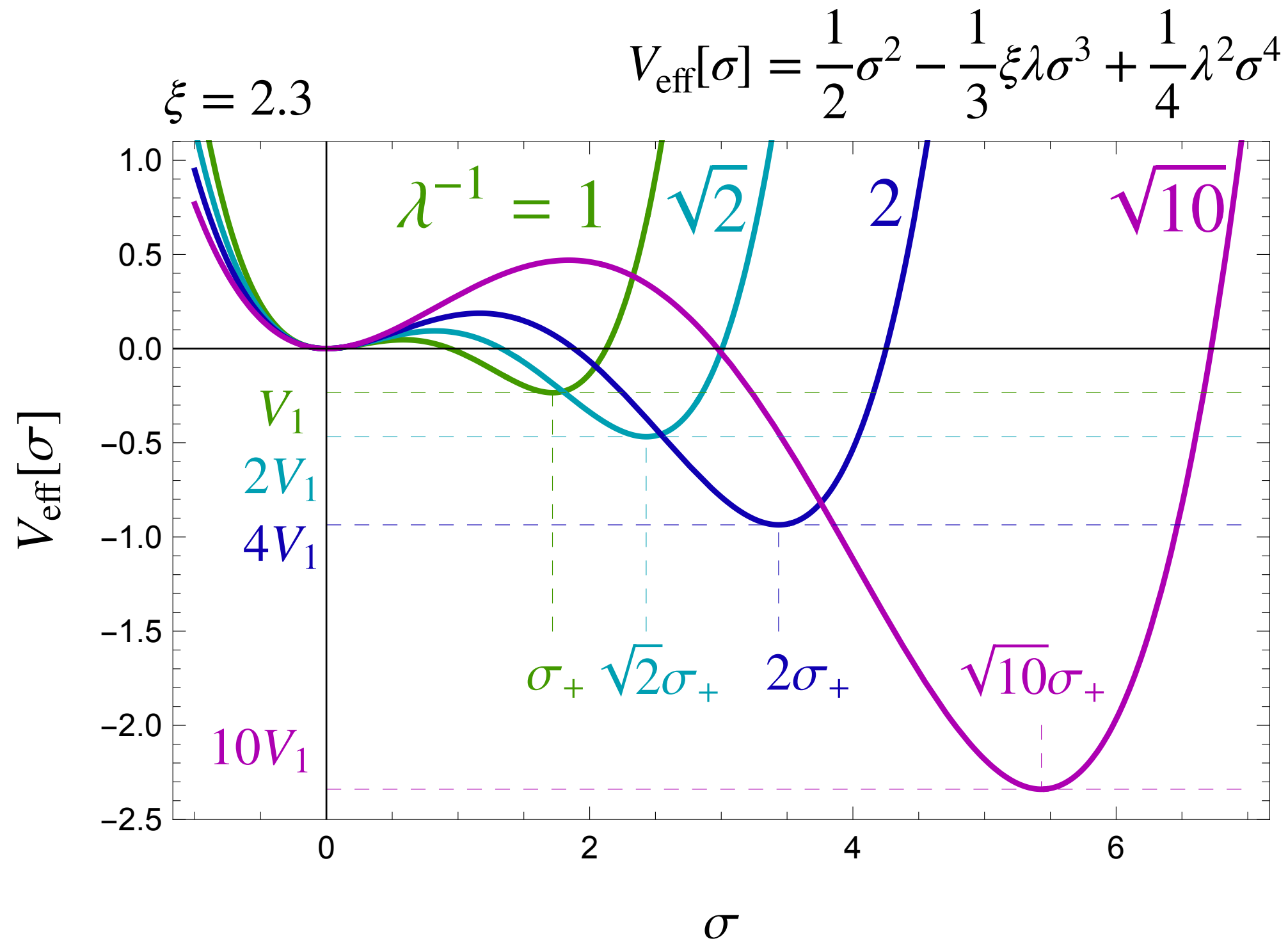


## ■ Background dynamics



# 有効ポテンシャル

## ■ 解の安定性



- I. 背景
- II.  $SU(N)$  ゲージ場の一様等方解
- III. 数値計算
- IV. まとめ

- Chromo-natural inflationは一様等方なゲージ場を予言
- ただし重力波の過剰生成でinflationとしてうまくいかない
  
- 模型をSU(N)に拡張して背景ゲージ場の解を調べた
- SU(2)部分群を見つけることで一様等方解を構成できる
- 選ぶ部分群によってゲージ場の大きさが異なる新しい解
  
- 構成した解がアトラクターであることを数値的に確認
- それ以外の解は見つからなかった
  
- これから: SU(N)以外の群への拡張
  - 解の選ばれ方
  - 重力波などのゆらぎ 等...



- Natural inflationの提案

"Natural inflation with pseudo-Nambu-Goldstone bosons"

Katherine Freese, Joshua A. Frieman, and Angela V. Olinto

Phys.Rev.Lett 65 (1990) 3233-3236 [[INSPIRE](#)]

- Natural inflationでの  $f \gtrsim M_{\text{Pl}}$  について

"On natural inflation"

Katherine Freese and William H. Kinney

Phys.Rev. D70 083512 (2004) [[INSPIRE](#)]

- Chromo natural inflationの提案

"Chromo-Natural Inflation: Natural inflation on a steep potential with classical non-Abelian gauge fields"

Peter Adshead and Mark Wyman

Phys.Rev.Lett 108 (2012) 261302 [[INSPIRE](#)]

- Chromo natural inflationのゆらぎ評価

"Perturbations in Chromo-Natural inflation"

Peter Adshead, Emil Martinec, and Mark Wyman

JHEP 09 (2013) 087 [[INSPIRE](#)]

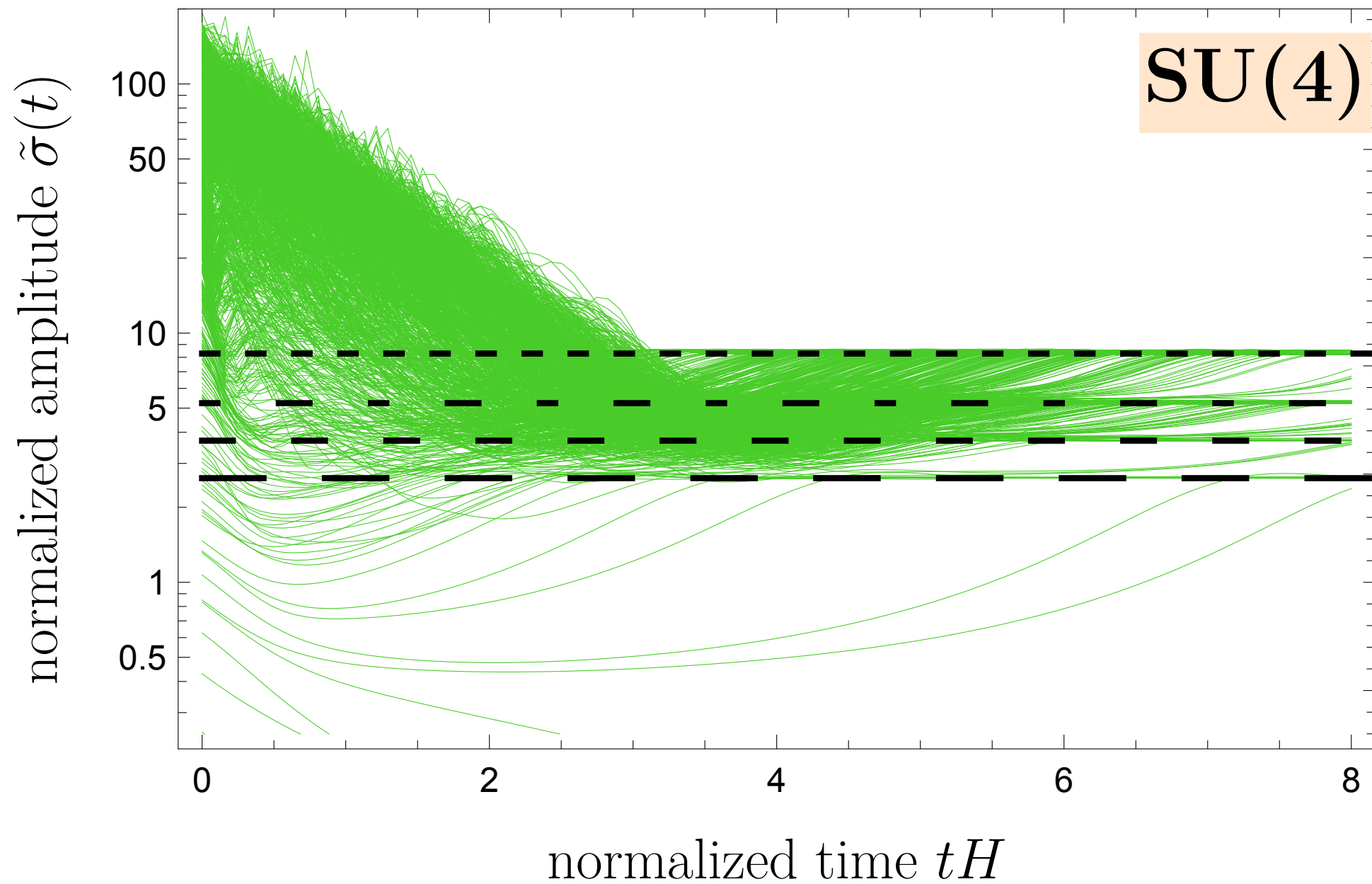
## ■ SU(N) 電磁場

$$E_i^a = -F_{0i}^a = -\frac{aH^2}{g}M_i^a \equiv \frac{aH^2}{g}\mathcal{E}_i^a$$
$$B_i^a = \frac{1}{2}\epsilon_{ijk}F_{jk}^a = -\frac{a^2H^2}{2g}\epsilon_{ijk}f^{abc}M_j^bM_k^c \equiv \frac{a^2H^2}{g}\mathcal{B}_i^a$$

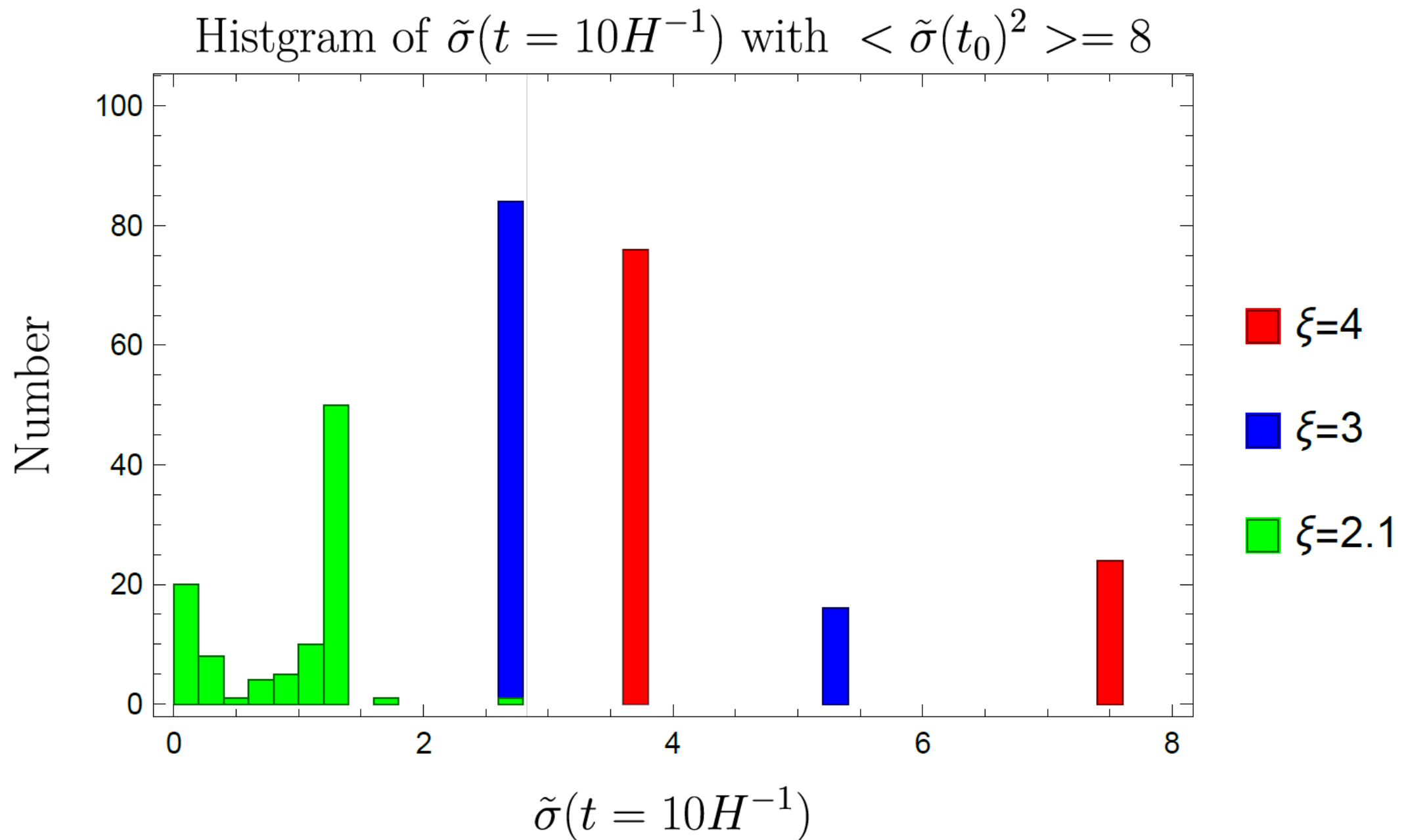
電磁場で表すと運動方程式は

$$-2\mathcal{E}_i^a + \frac{1}{2}\epsilon_{ijk}f^{abc}\mathcal{E}_j^b\mathcal{B}_k^c + \xi\mathcal{B}_i^a = 0.$$

## ■ 他のattractor解の可能性

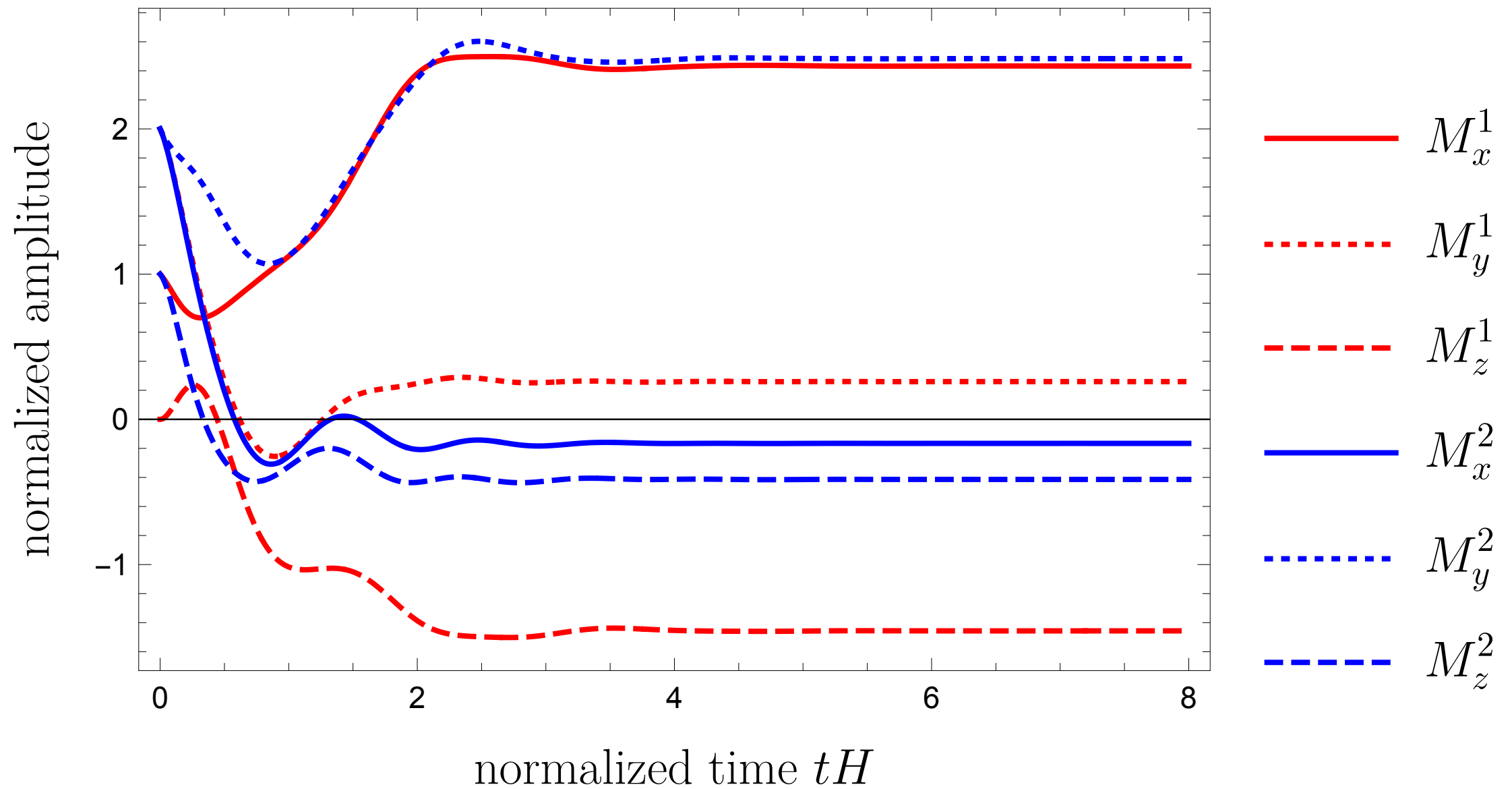


## ■ $\xi$ による解の分岐の違い



## ■ $M_i^a$ の時間発展の一例

$\xi = 3, SU(3)$

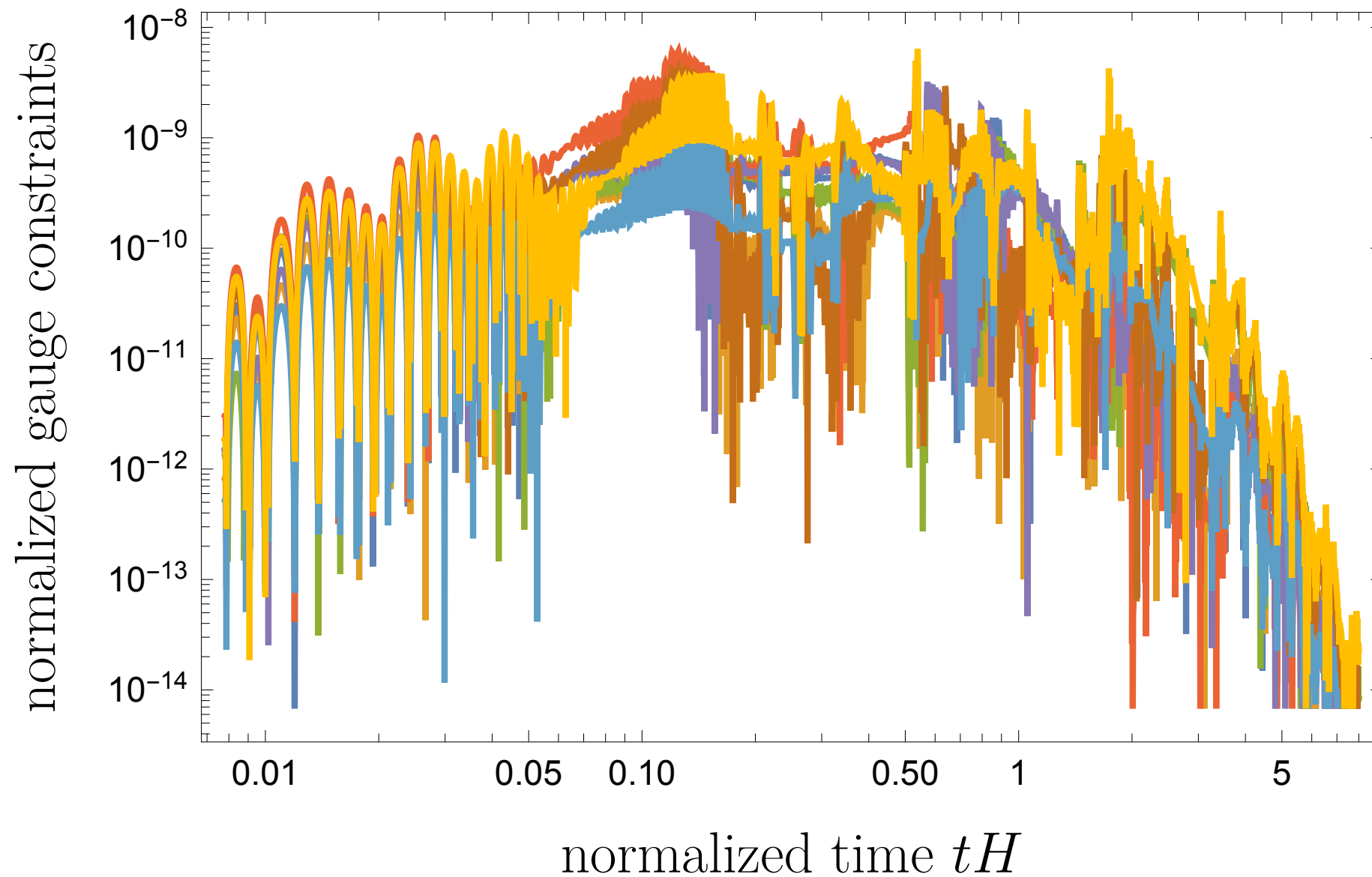


## ■ Gauge条件の確認

$$\frac{|\sum_{b,c} g f^{abc} \dot{A}_i^b A_i^c|}{\sum_{b,c} |g f^{abc} \dot{A}_i^b A_i^c|}$$

$\xi = 4,$

$SU(3)$



## ■ より厳密な安定性

有効ポテンシャルのHessian :

$$S_{ij}^{ab} = 2\delta_{ij}\delta^{ab} + (f^{eab}f^{ecd} - f^{ead}f^{ebc})M_i^cM_j^d + f^{fac}f^{fbd}M_k^cM_k^d\delta_{ij} - 2\xi\epsilon_{ijk}f^{abc}M_c^k.$$

$(i, a)$  でfield spaceの一方向と思うと  $S_{ij}^{ab}$  は  $3 \times (N^2 - 1)$  次元平方行列  
固有値の符号を調べれば安定性がわかる

→ SU(3), SU(4)の範囲で見つけた解は全て安定であることを確認済み  
つまり固有値が正とゼロ (ゲージ変換に対応) のみ